

# [Abbildungen = Images]

Objekttyp: **Appendix**

Zeitschrift: **Bericht der Eidgenössischen Kommission zur Überwachung der Radioaktivität**

Band (Jahr): **16 (1972)**

PDF erstellt am: **15.08.2024**

## **Nutzungsbedingungen**

Die ETH-Bibliothek ist Anbieterin der digitalisierten Zeitschriften. Sie besitzt keine Urheberrechte an den Inhalten der Zeitschriften. Die Rechte liegen in der Regel bei den Herausgebern.

Die auf der Plattform e-periodica veröffentlichten Dokumente stehen für nicht-kommerzielle Zwecke in Lehre und Forschung sowie für die private Nutzung frei zur Verfügung. Einzelne Dateien oder Ausdrucke aus diesem Angebot können zusammen mit diesen Nutzungsbedingungen und den korrekten Herkunftsbezeichnungen weitergegeben werden.

Das Veröffentlichen von Bildern in Print- und Online-Publikationen ist nur mit vorheriger Genehmigung der Rechteinhaber erlaubt. Die systematische Speicherung von Teilen des elektronischen Angebots auf anderen Servern bedarf ebenfalls des schriftlichen Einverständnisses der Rechteinhaber.

## **Haftungsausschluss**

Alle Angaben erfolgen ohne Gewähr für Vollständigkeit oder Richtigkeit. Es wird keine Haftung übernommen für Schäden durch die Verwendung von Informationen aus diesem Online-Angebot oder durch das Fehlen von Informationen. Dies gilt auch für Inhalte Dritter, die über dieses Angebot zugänglich sind.

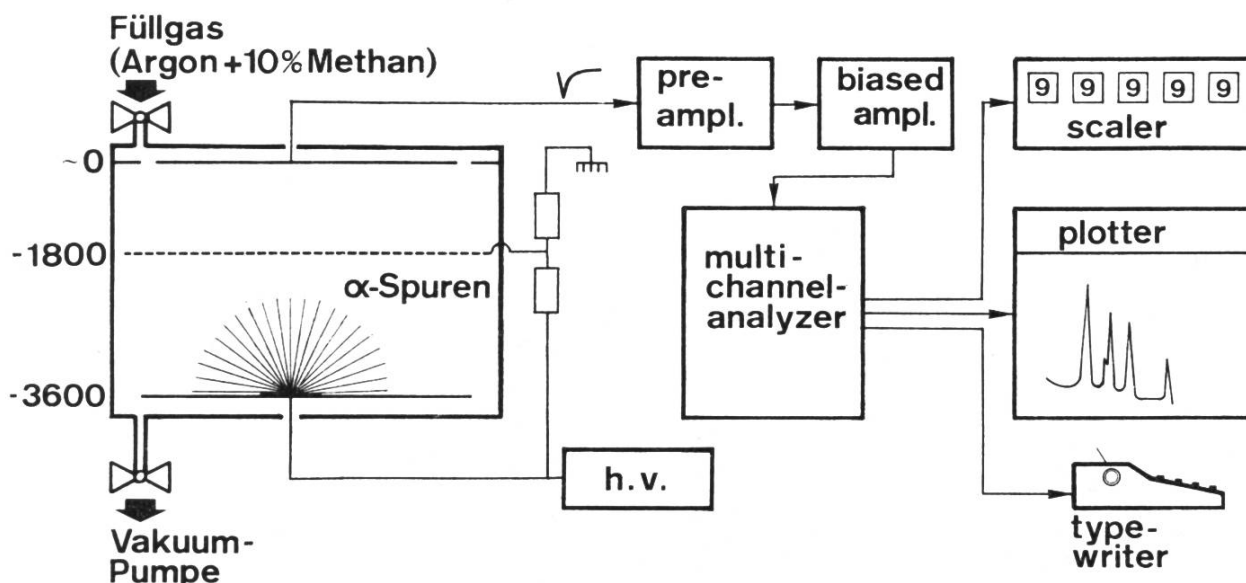


Fig. 1. Messanordnung zur Alpha-Spektroskopie mit Gitterionisationskammer

Fig. 1. Appareillage pour la spectroscopie alpha avec chambre d'ionisation à grille

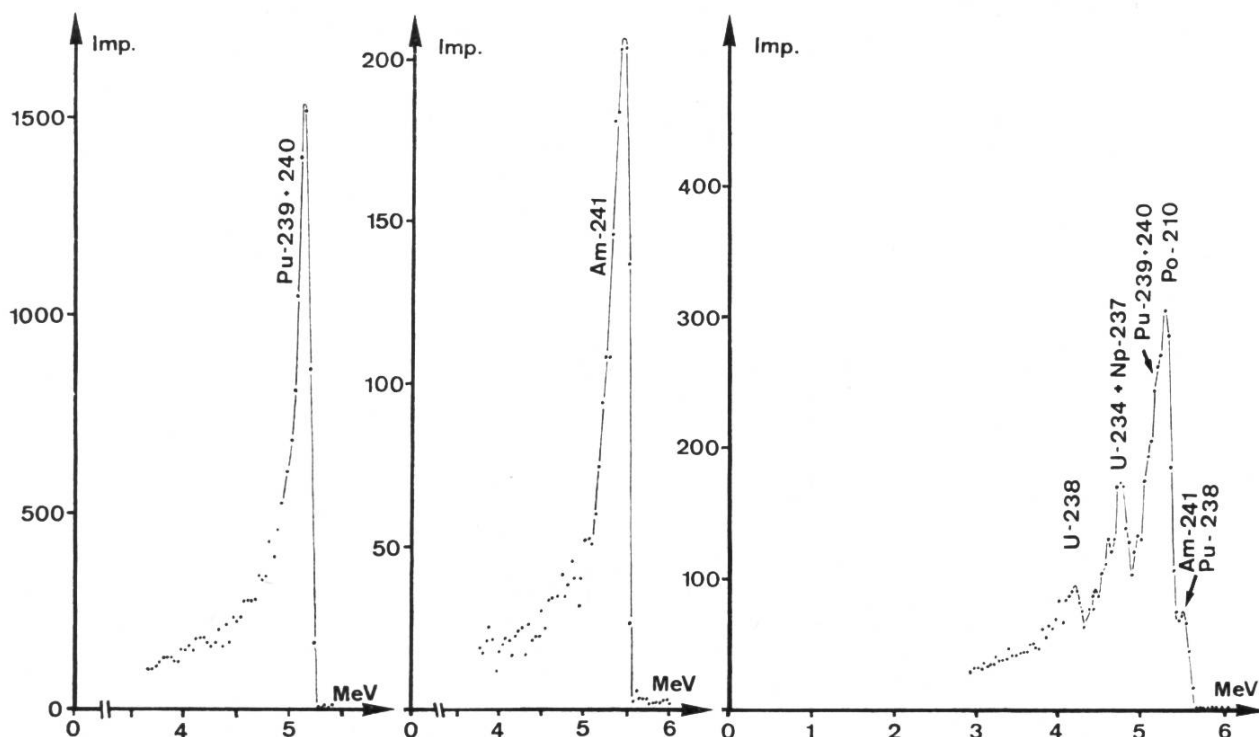


Fig. 2. Alpha-Spektren mit Gitterionisationskammer,

links: chemisch abgetrenntes Plutonium einer Luftfilterprobe aus der oberen Troposphäre vom 2.-5.4.1972

Mitte: Abwasserprobe der Cerberus AG, Männedorf, vom 6.3.1972 (Am-241)

rechts: Luftprobe aus der oberen Troposphäre vom 17.1.1972, gemessen neun Monate nach dem Veraschen.

Fig. 2. Spectres alpha mesurés à l'aide d'une chambre d'ionisation à grille,

à gauche: plutonium d'un échantillon d'air de la troposphère supérieure du 2 au 5.4.1972, séparation chimique

au milieu: eau résiduaire de la Cerberus SA, Männedorf, du 6.3.1972 (Am-241)

à droite: échantillon d'air de la troposphère supérieure du 17.1.1972, mesuré neuf mois après la calcination.

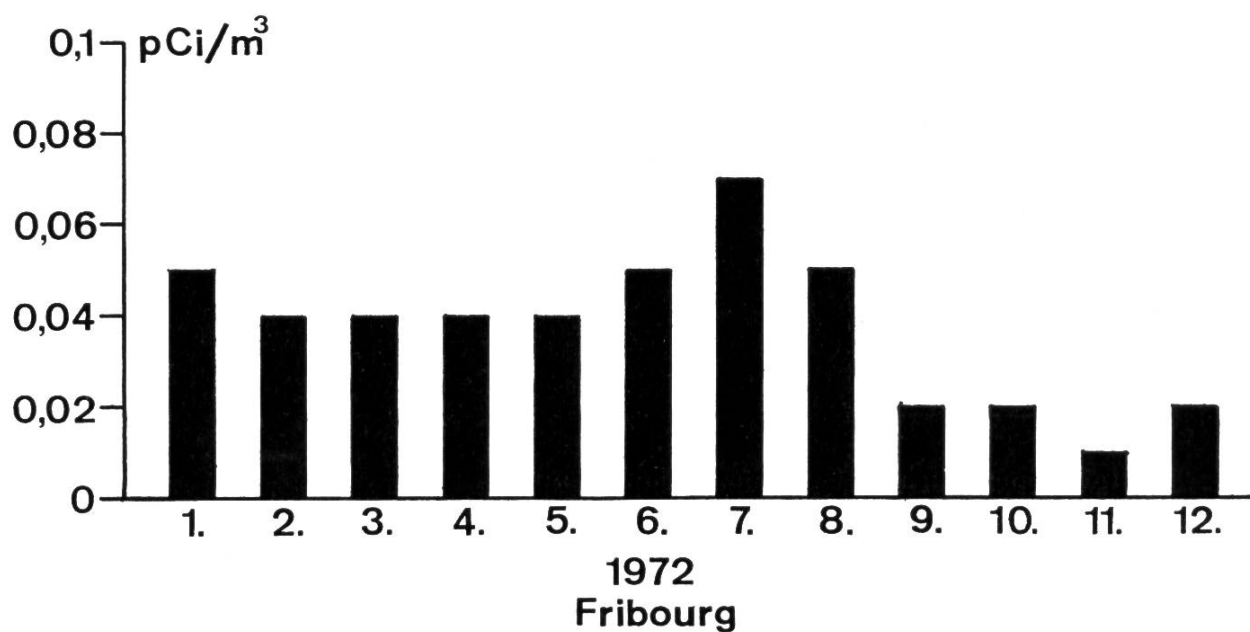
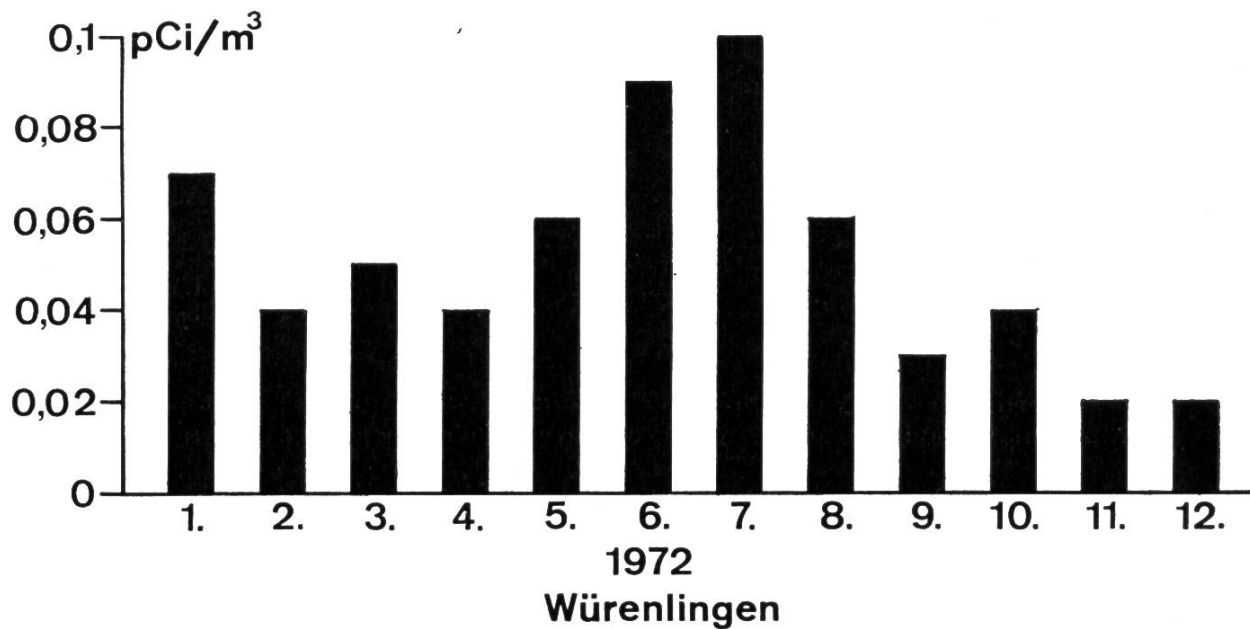


Fig. 3. Monatliche Mittelwerte der Betaaktivität der Luft, bezogen auf 760 mm Hg und 0° C, für die Messstellen Fribourg und Würtenlingen

Fig. 3. Moyennes mensuelles de l'activité bêta de l'air, à 760 mm Hg et 0° C. mesurées aux stations de Fribourg et Würtenlingen

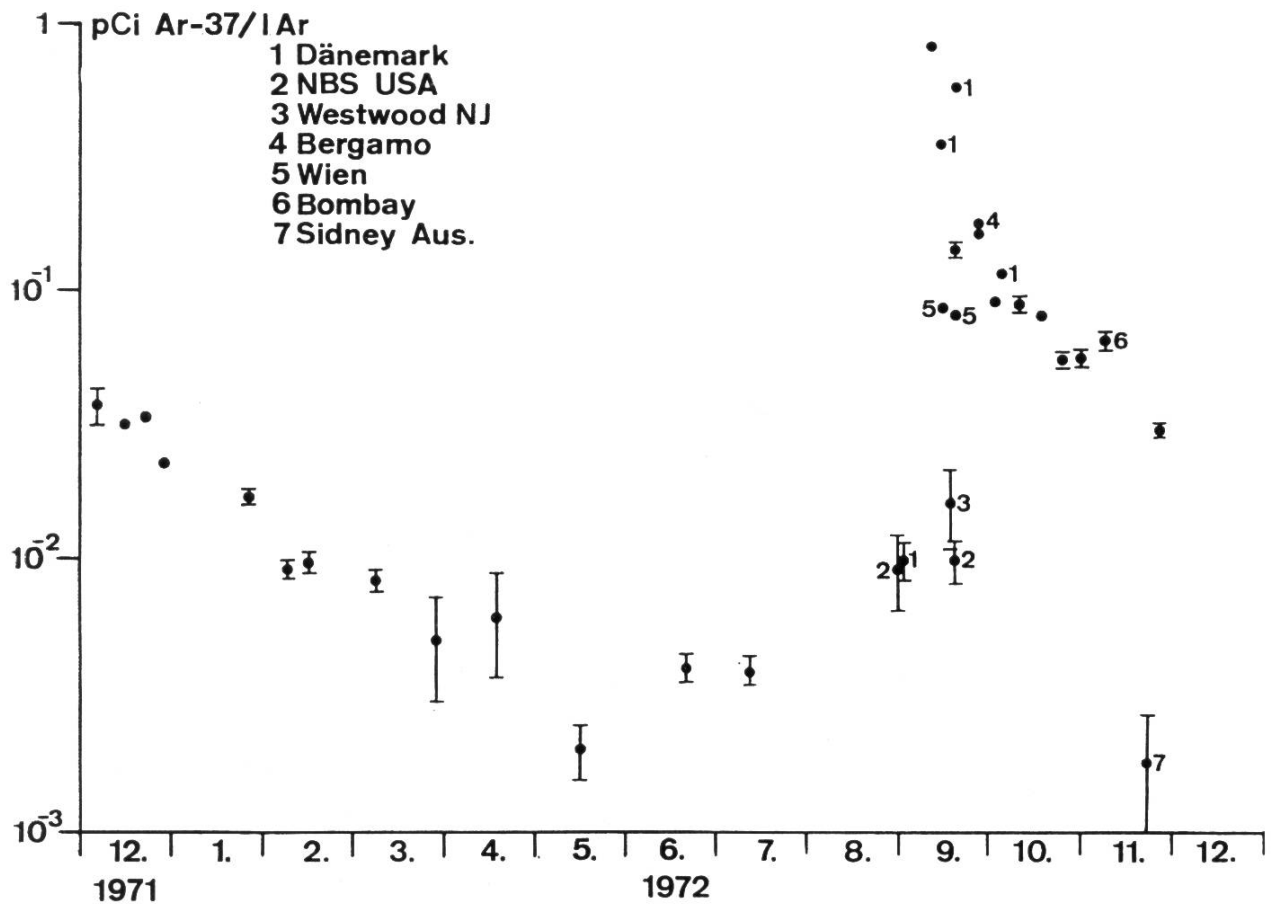


Fig. 4. Ar-37 in der Luft von Bern und von ausländischen Stationen

Fig. 4. Ar-37 de l'air (Berne et stations étrangères)

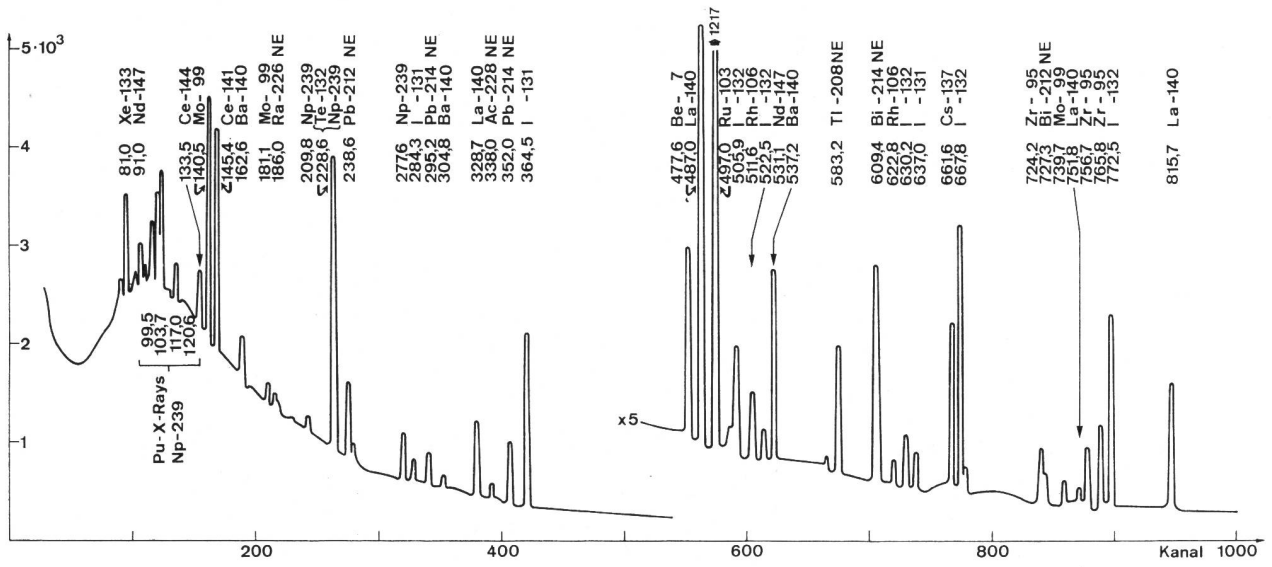


Fig. 5. Gammaspektrum einer Luftprobe aus der oberen Troposphäre, gesammelt am 17.1.1972, gemessen am 19.1.1972  
 Fig. 5. Spectre gamma d'un échantillon d'air de la troposphère supérieure, collecté le 17.1.1972, mesuré le 19.1.1972  
 (NE = Nulleffekt - fond naturel)

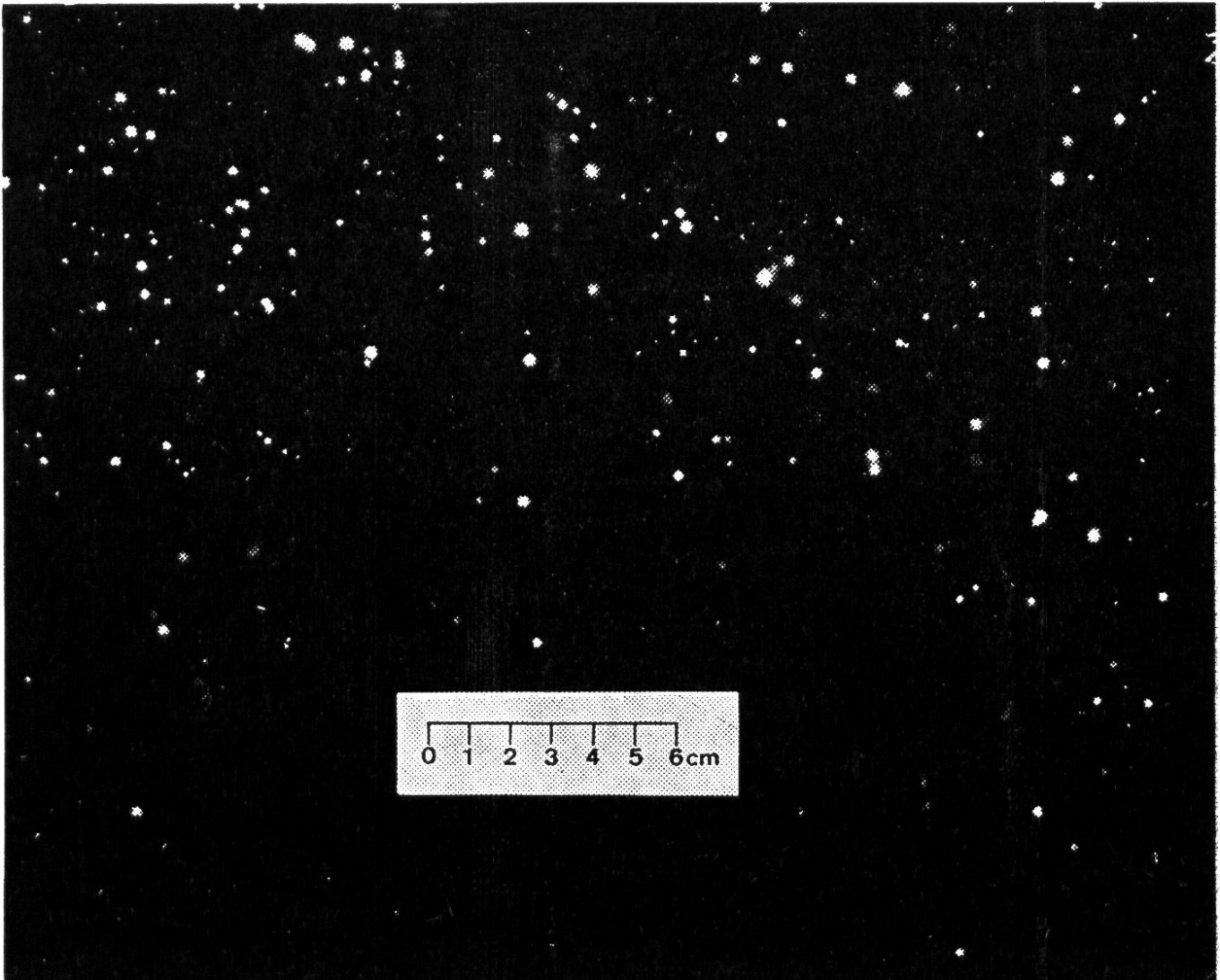


Fig. 6. Autoradiographie eines Luftfilters (10 700 m Höhe) mit heissen Teilchen, gesammelt am 28.3.1972

Fig. 6. Autoradiographie d'un filtre d'air (altitude 10 700 m) avec particules chaudes, collecté le 28.3.1972

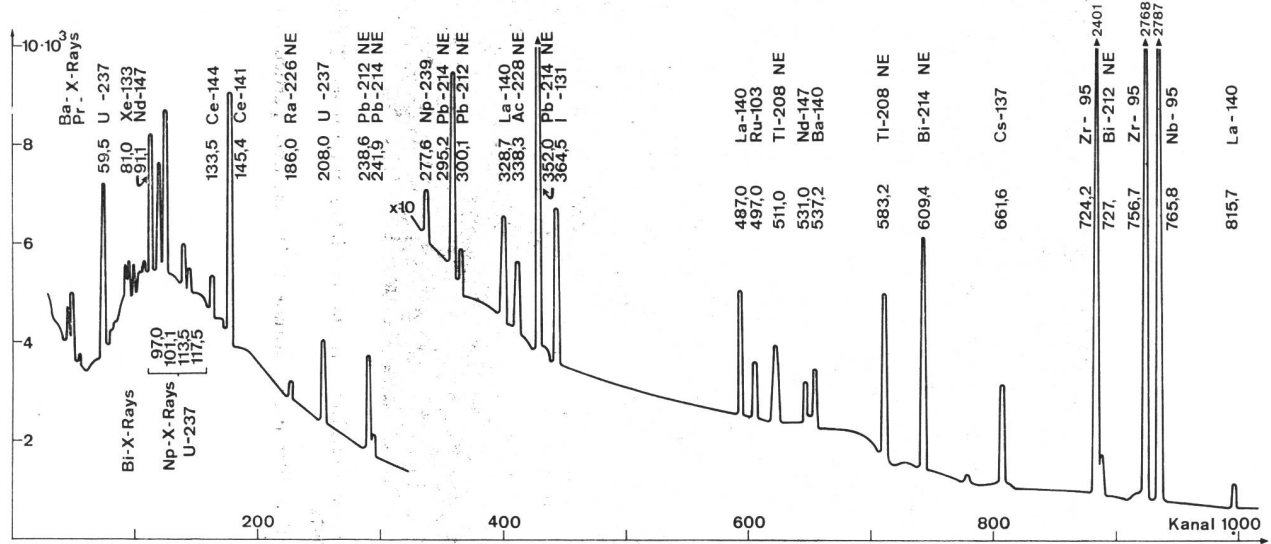


Fig. 7. Gammaspektrum eines heissen Teilchens aus dem Wochenfilter der Luft von Freiburg vom 30.3.-7.4.1972, gemessen am 18.4.1972

Fig. 7. Spectre gamma d'une particule chaude, collectée dans le filtre d'air de Fribourg de la semaine du 30.3.-7.4.1972, mesuré le 18.4.1972

(NE = Nulleffekt - fond naturel)

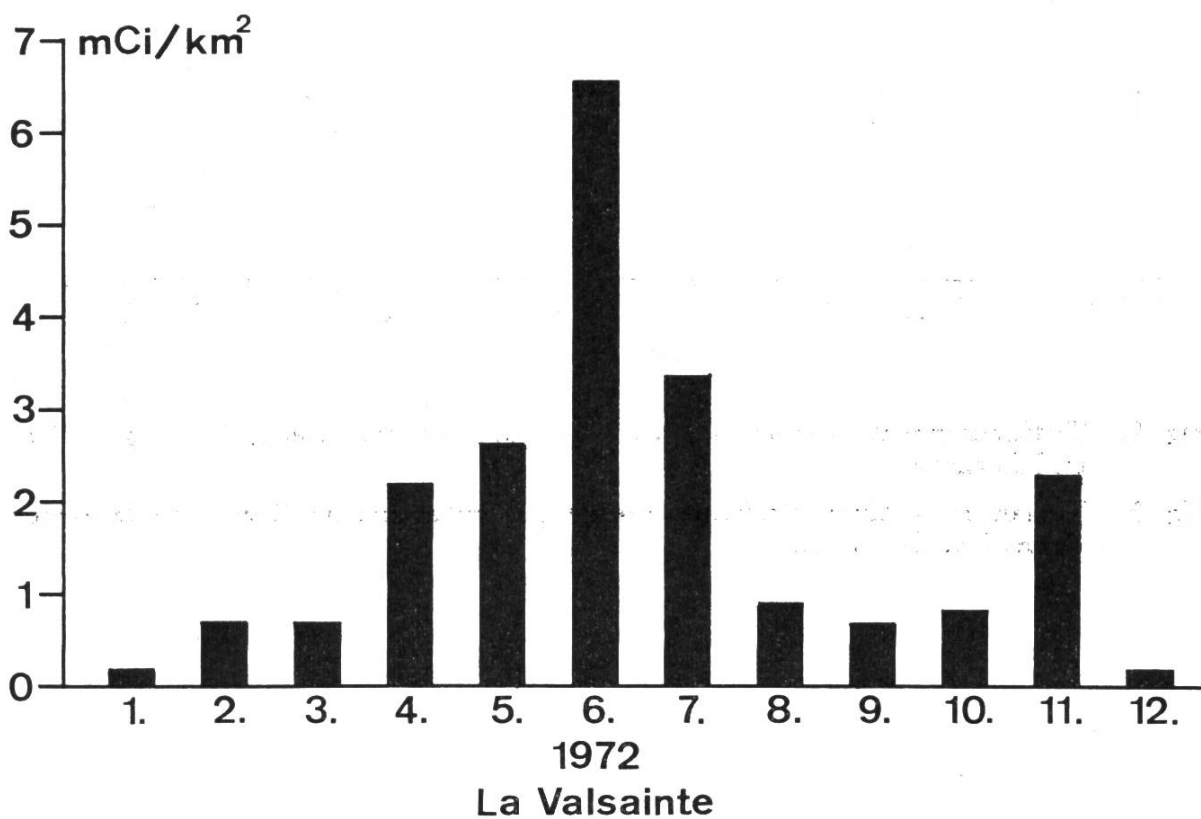
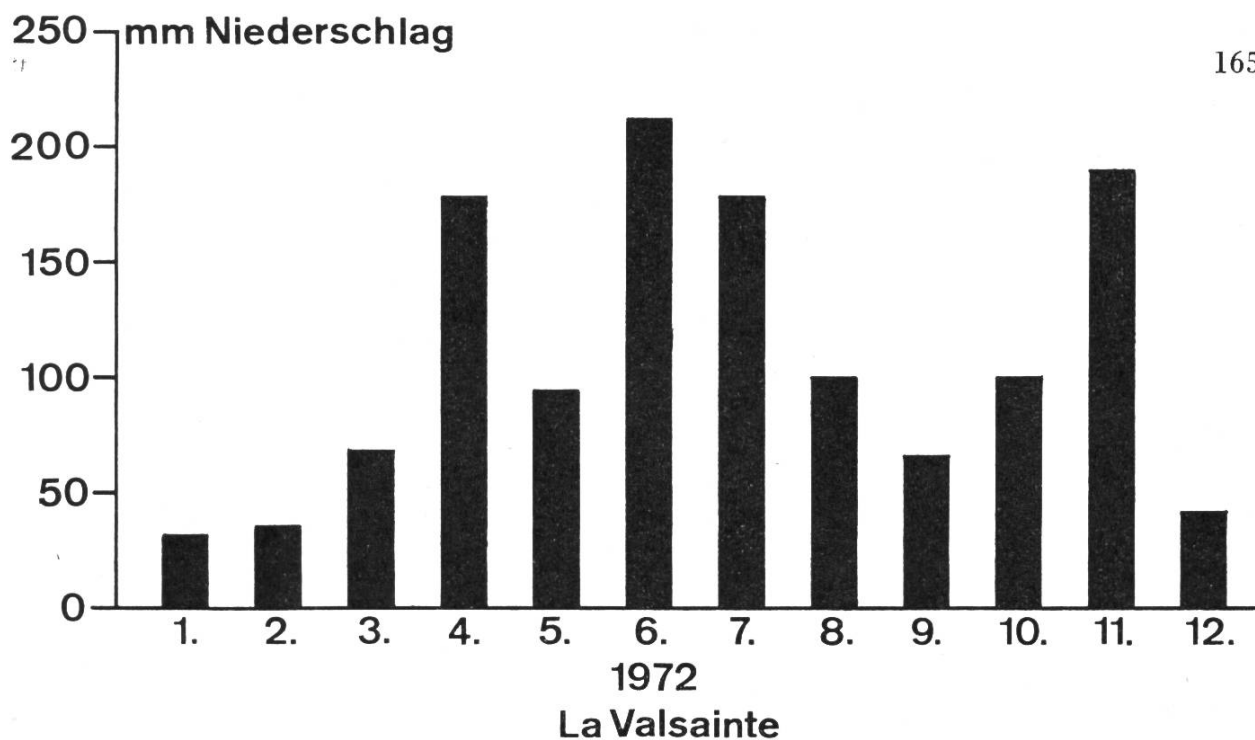


Fig. 8. Monatliche Niederschlagsmenge (oben) und monatliche, dem Erdboden durch Niederschlag zugeführte Betaaktivität pro km<sup>2</sup> Bodenfläche (unten) für die Messstelle La Valsainte

Fig. 8. Quantité mensuelle des précipitations (en haut) et activité bêta déposée mensuellement par km<sup>2</sup> au sol par les précipitations (en bas) pour la station de la Valsainte



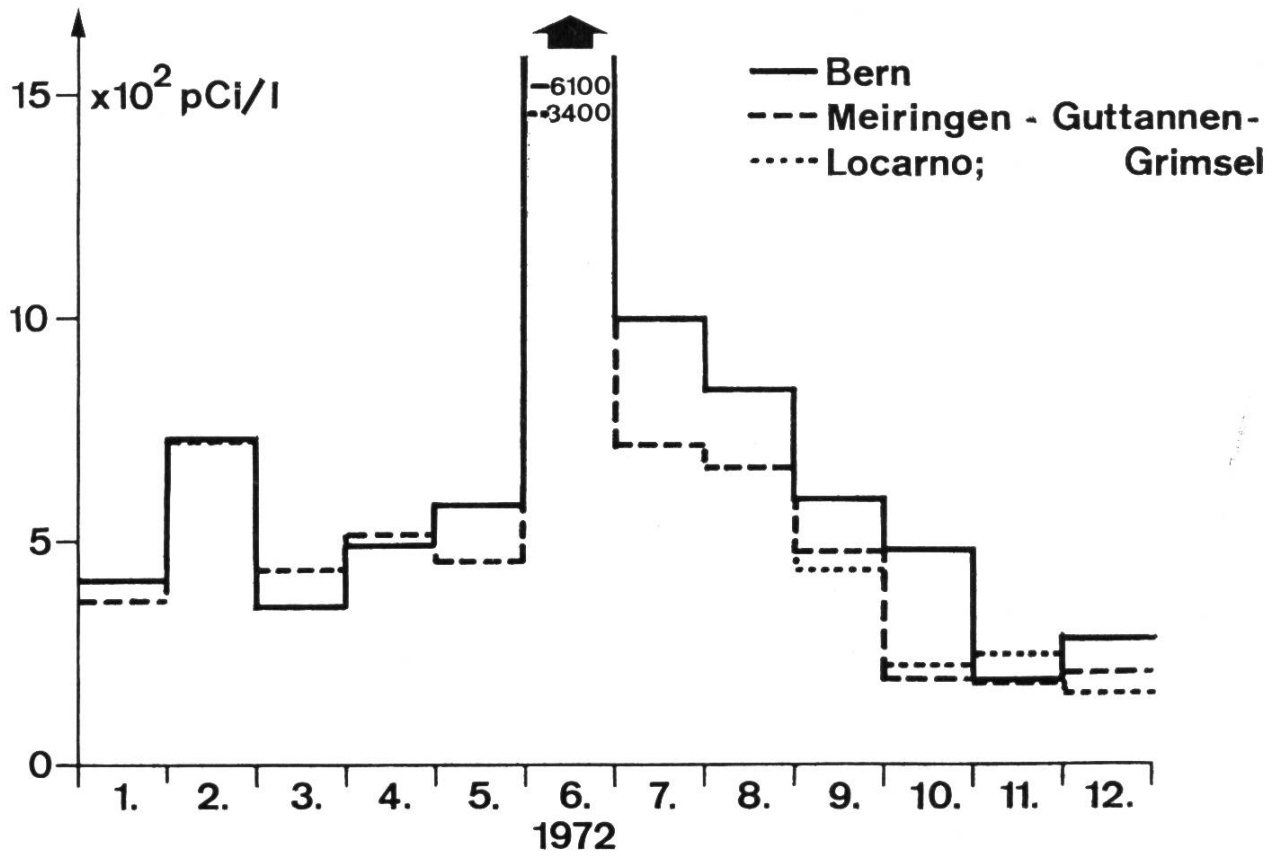


Fig. 9. Tritiumkonzentrationen in Niederschlagsproben von Bern, der Region Grimsel und Locarno

Fig. 9. Teneur en tritium d'échantillons de précipitations de Berne, de la région du Grimsel et de Locarno

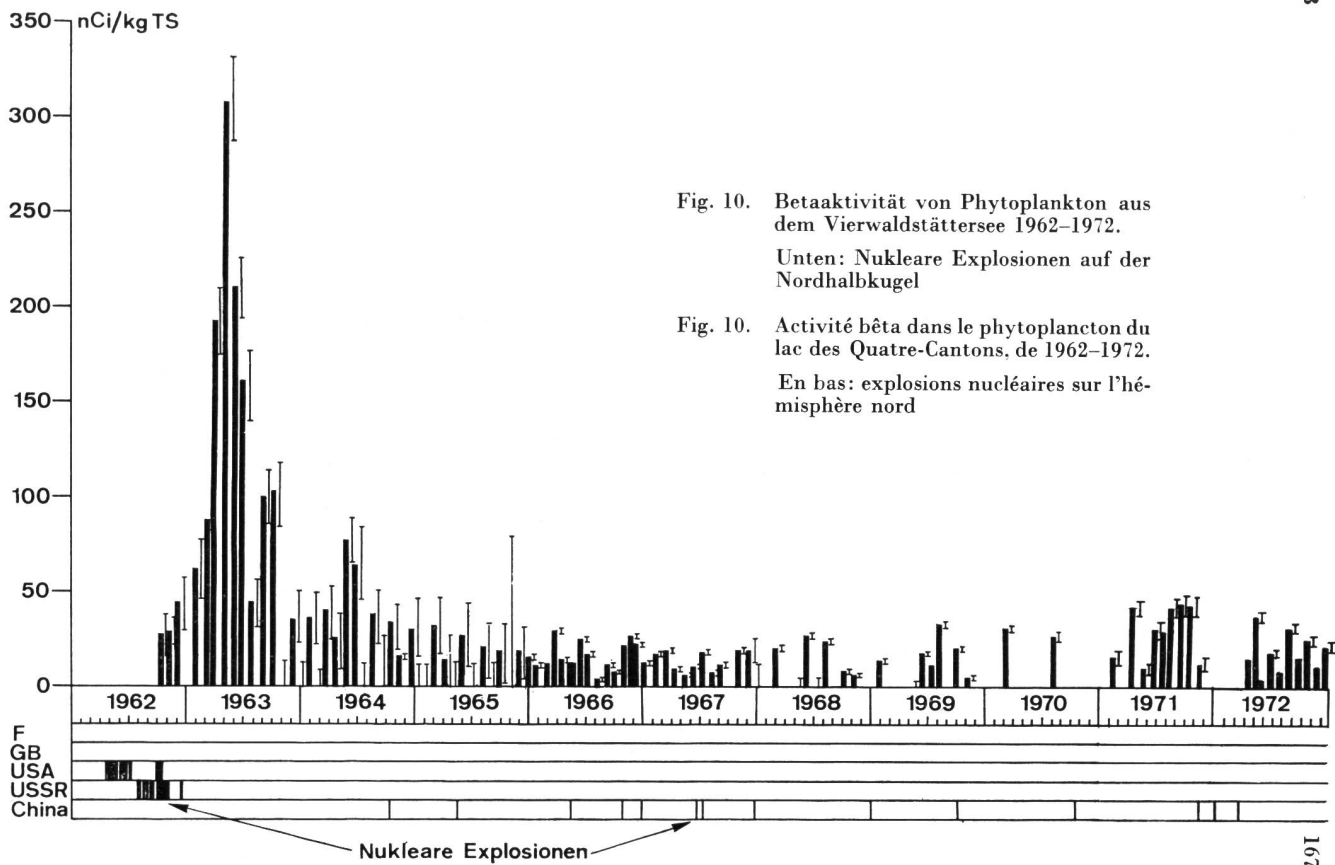


Fig. 10. Betaaktivität von Phytoplankton aus dem Vierwaldstättersee 1962–1972.

Unten: Nukleare Explosionen auf der Nordhalbkugel

Fig. 10. Activité bêta dans le phytoplancton du lac des Quatre-Cantons, de 1962–1972.

En bas: explosions nucléaires sur l'hémisphère nord

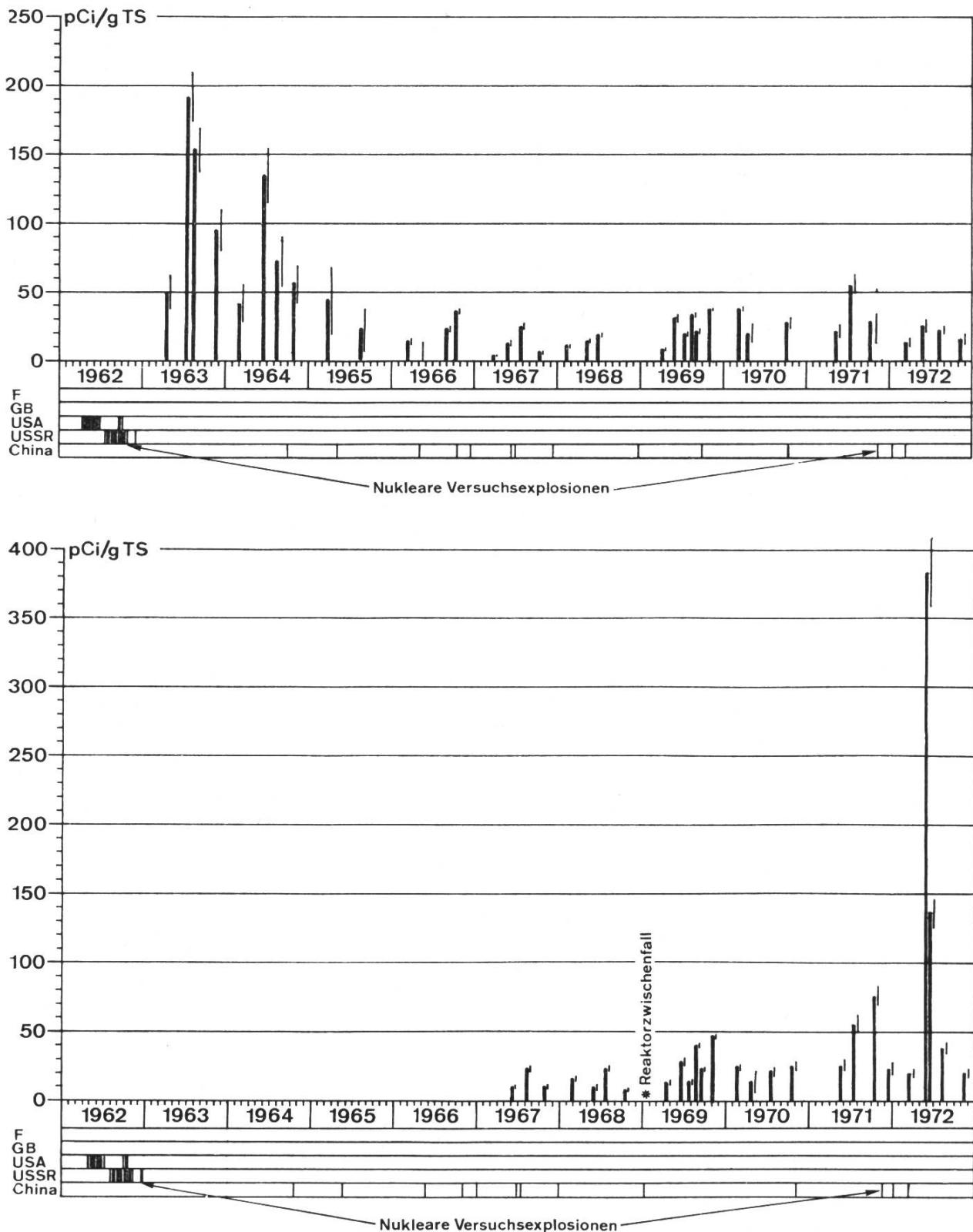


Fig. 11. Betaaktivität von Plankton und Schwebestoffen aus der Broye, ober- und unterhalb des Einlaufs des Abwassers der Centrale Nucléaire Lucens, seit Beginn der Messungen

Fig. 11. Activité bêta dans le plancton et les matières suspendues de la Broye, en amont et en aval de l'embouchure des eaux résiduelles de la Centrale Nucléaire de Lucens, depuis le commencement des mesures

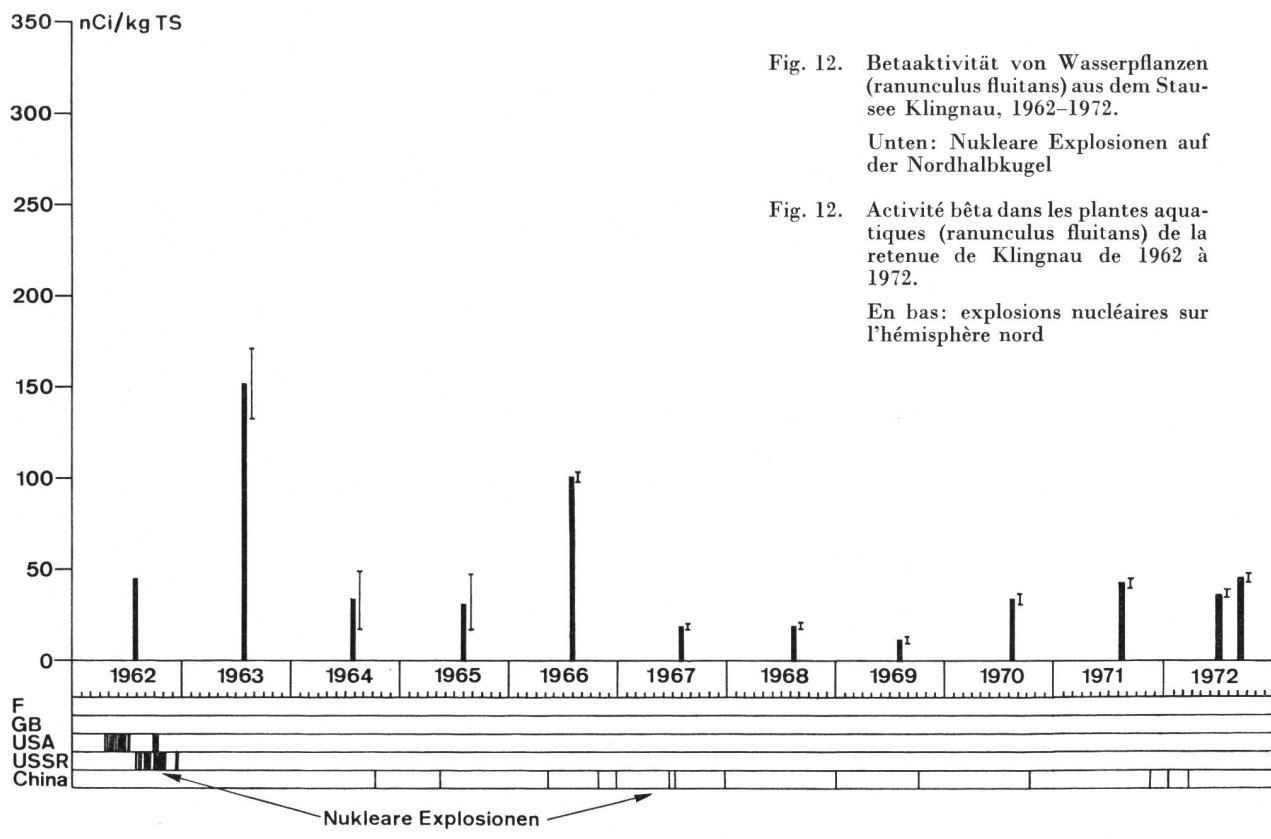


Fig. 12. Betaaktivität von Wasserpflanzen (ranunculus fluitans) aus dem Stausee Klingnau, 1962-1972.

Unten: Nukleare Explosionen auf der Nordhalbkugel

Fig. 12. Activité bêta dans les plantes aquatiques (ranunculus fluitans) de la retenue de Klingnau de 1962 à 1972.

En bas: explosions nucléaires sur l'hémisphère nord

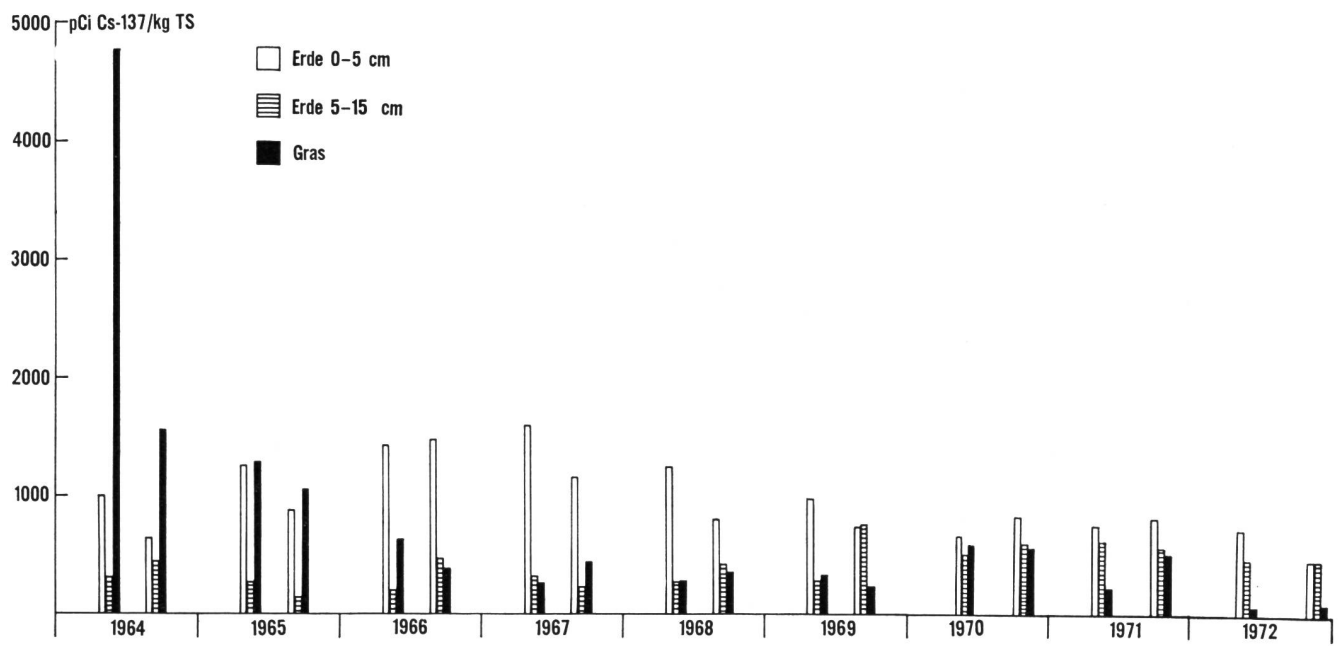


Fig. 13a. Cs-137-Aktivität von Erdboden und Gras, Arenenberg/TG, 1964–1972

Fig. 13a. Activité du Cs-137 dans le sol et dans l'herbe à Arenenberg/TG, 1964–1972

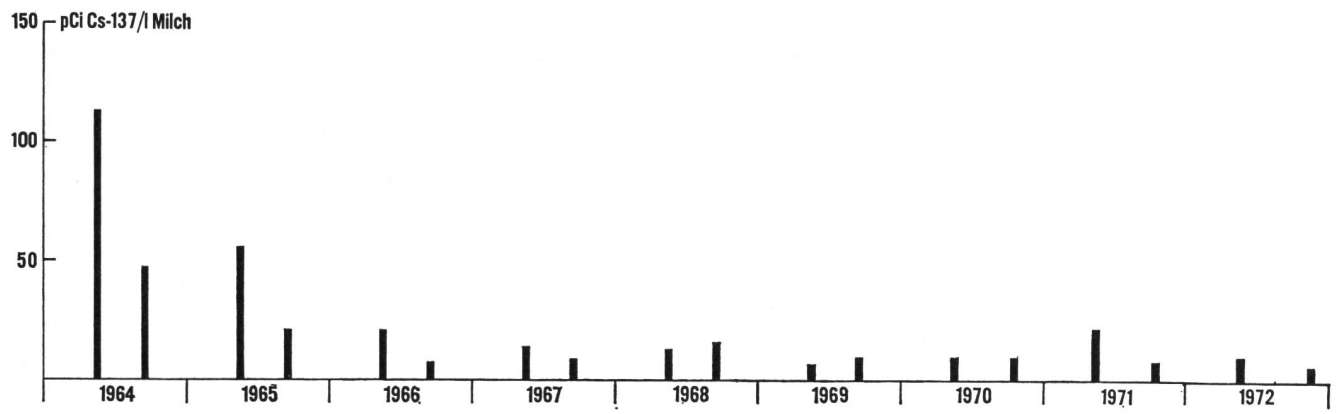


Fig. 13a. Cs-137-Aktivität von Milch, Arenenberg/TG, 1964–1972

Fig. 13b. Activité du Cs-137 dans le lait à Arenenberg/TG, 1964–1972

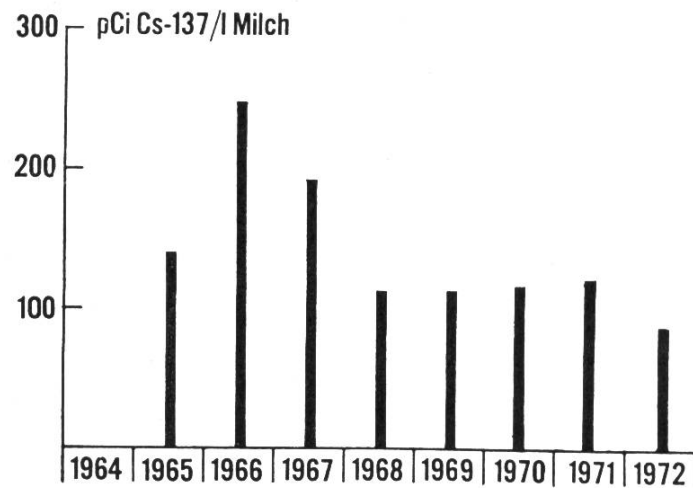
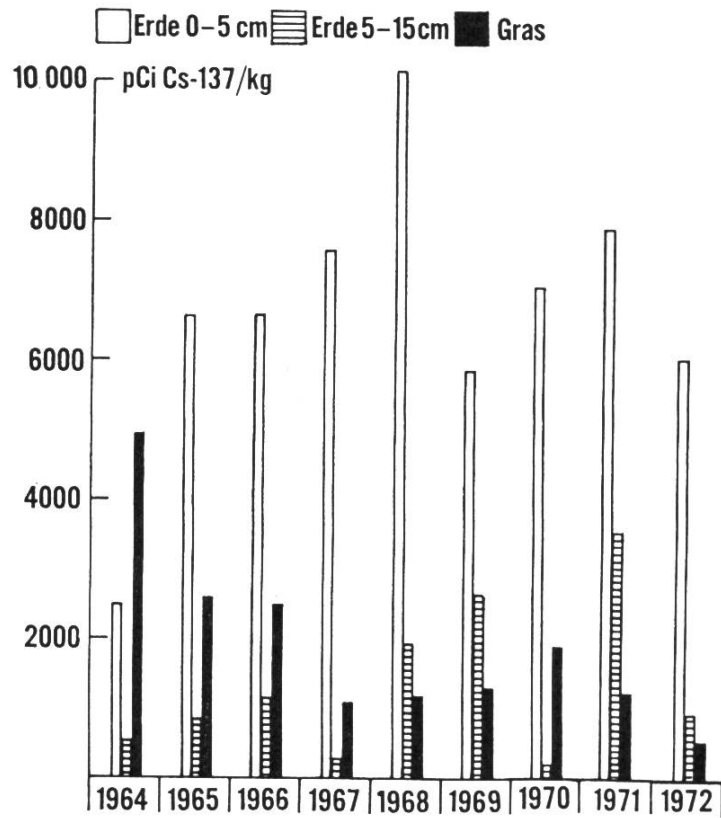


Fig. 14. Cs-137-Aktivität von Erdboden, Gras und Milch, Davos-Stillberg/GR, 1964–1972

Fig. 14. Activité du Cs-137 dans le sol, dans l'herbe et dans le lait à Davos-Stillberg/GR, 1964–1972

Erde 0-5 cm
  Erde 5-15 cm
  Futter

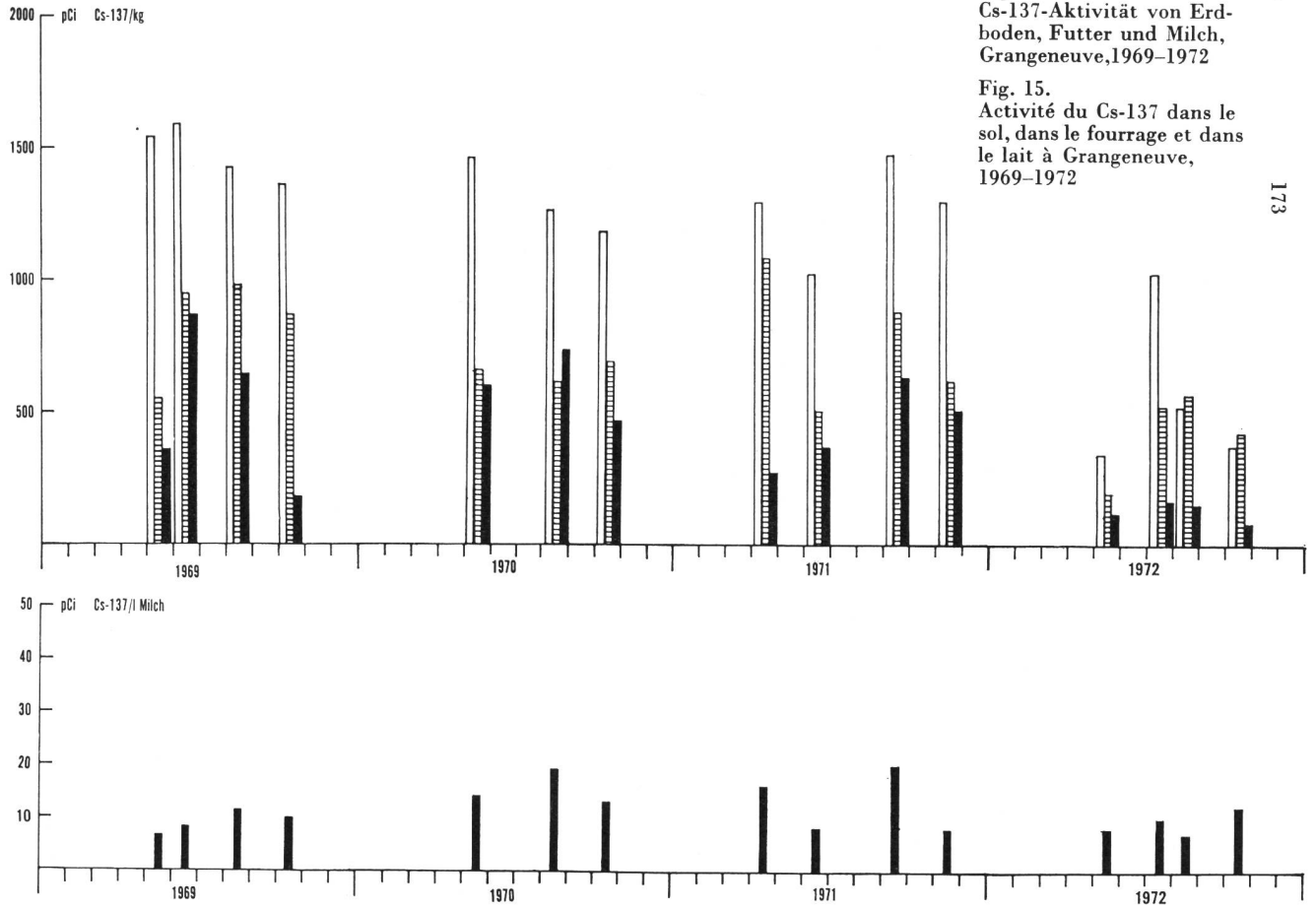


Fig. 15. Cs-137-Aktivität von Erdboden, Futter und Milch, Grangeneuve, 1969-1972

Fig. 15. Activité du Cs-137 dans le sol, dans le fourrage et dans le lait à Grangeneuve, 1969-1972



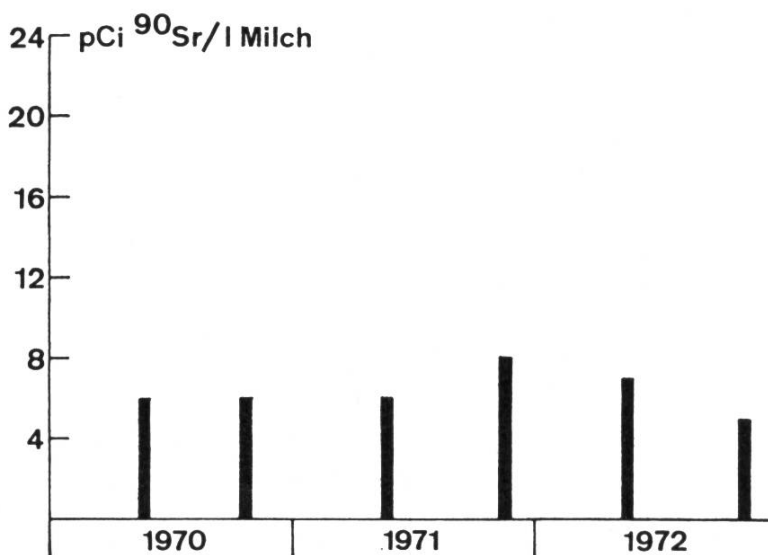
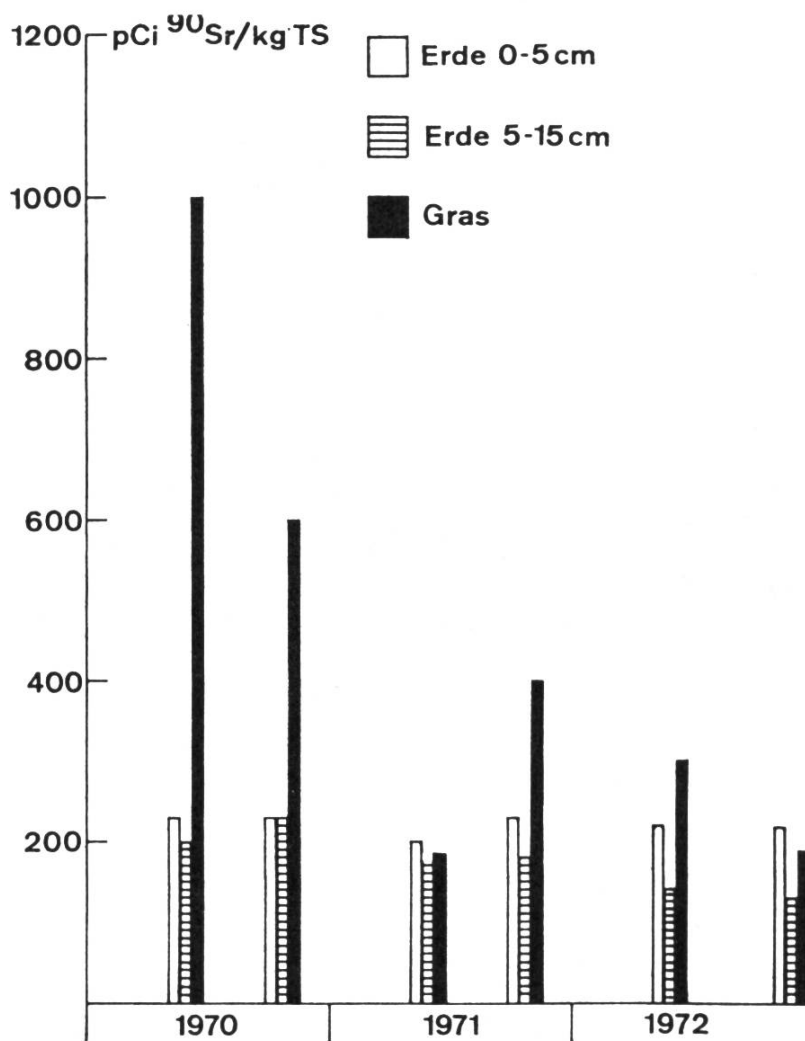


Fig. 16. Sr-90-Aktivität von Erdboden, Gras und Milch, Arenenberg, 1970-1972

Fig. 16. Activité du Sr-90 dans le sol, dans l'herbe et dans le lait à Arenenberg, 1970-1972

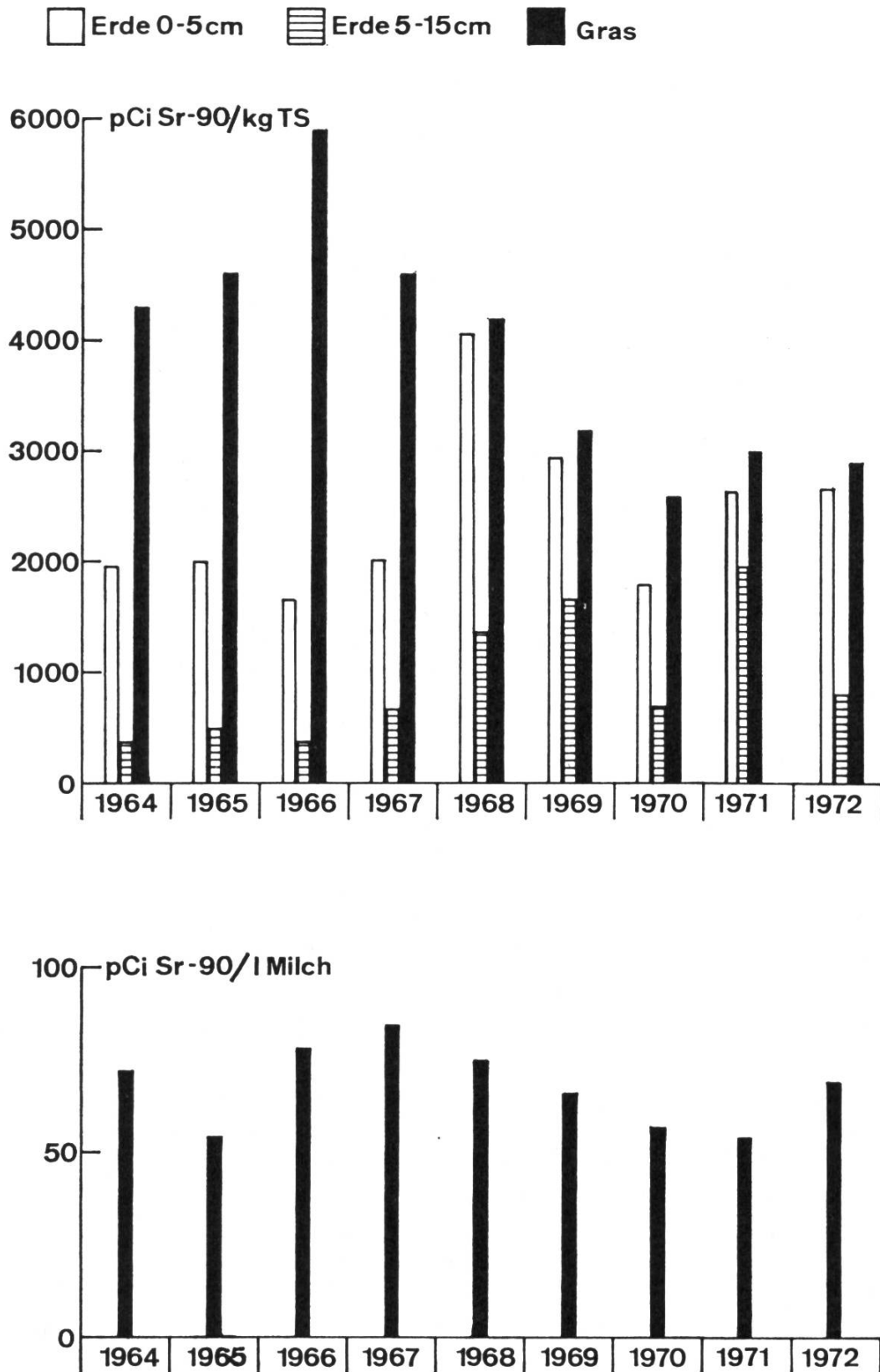


Fig. 17. Sr-90-Aktivität von Erdboden, Gras und Milch, Davos-Stillberg, 1964–1972

Fig. 17. Activité du Sr-90 dans le sol, dans l'herbe et dans le lait à Davos-Stillberg, 1964–1972

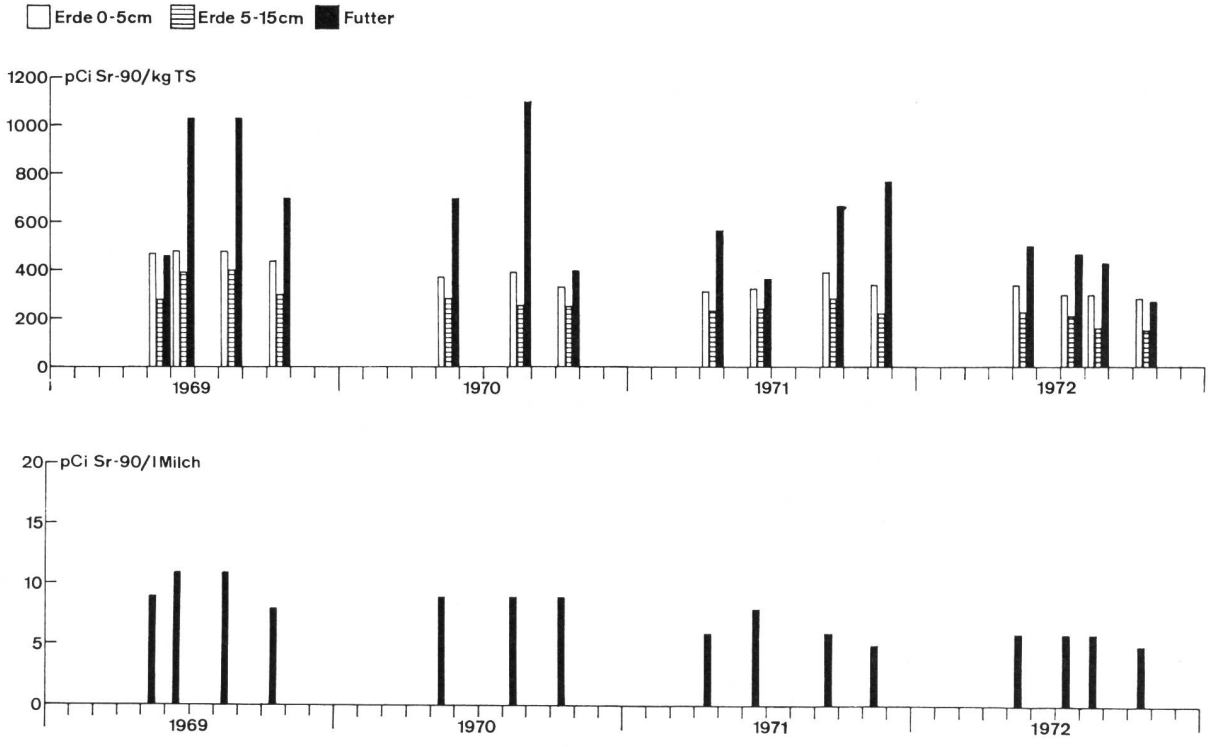


Fig. 18. Sr-90-Aktivität von Erdboden, Futter und Milch, Grangeneuve, 1969-1972  
 Fig. 18. Activité du Sr-90 dans le sol, dans le fourrage et dans le lait à Grangeneuve, 1969-1972

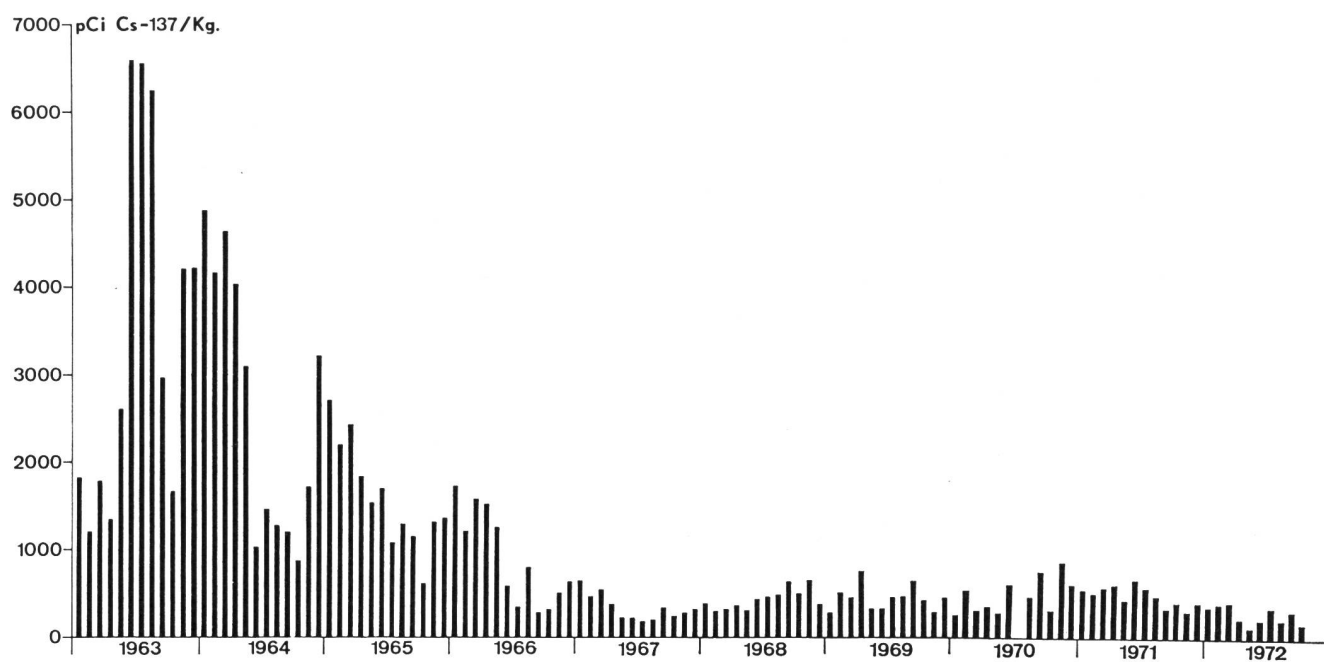


Fig. 19a. Cs-137-Gehalt von Viehfutter (monatliche Probenahme), Ostschweiz, 1963–1972

Fig. 19a. Teneur en Cs-137 du fourrage (prélèvement mensuel d'échantillons), Suisse orientale de 1963–1972



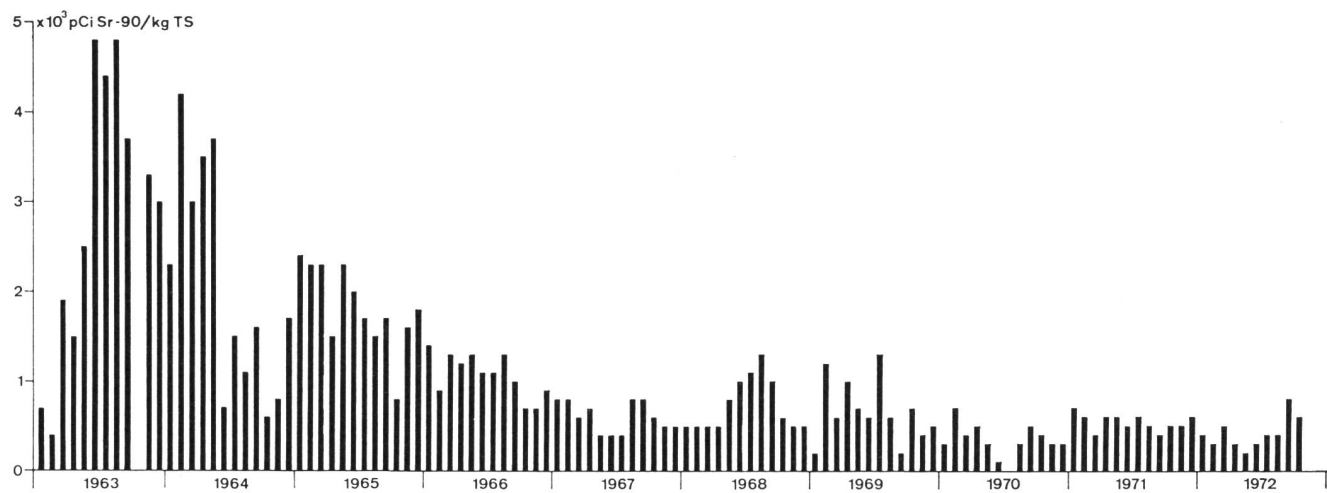


Fig. 20a. Sr-90-Gehalt von Viehfutter (monatliche Probenahme), Ostschweiz, 1963–1972

Fig. 20a. Teneur en Sr-90 du fourrage (prélèvement mensuel d'échantillons), Suisse orientale de 1963–1972



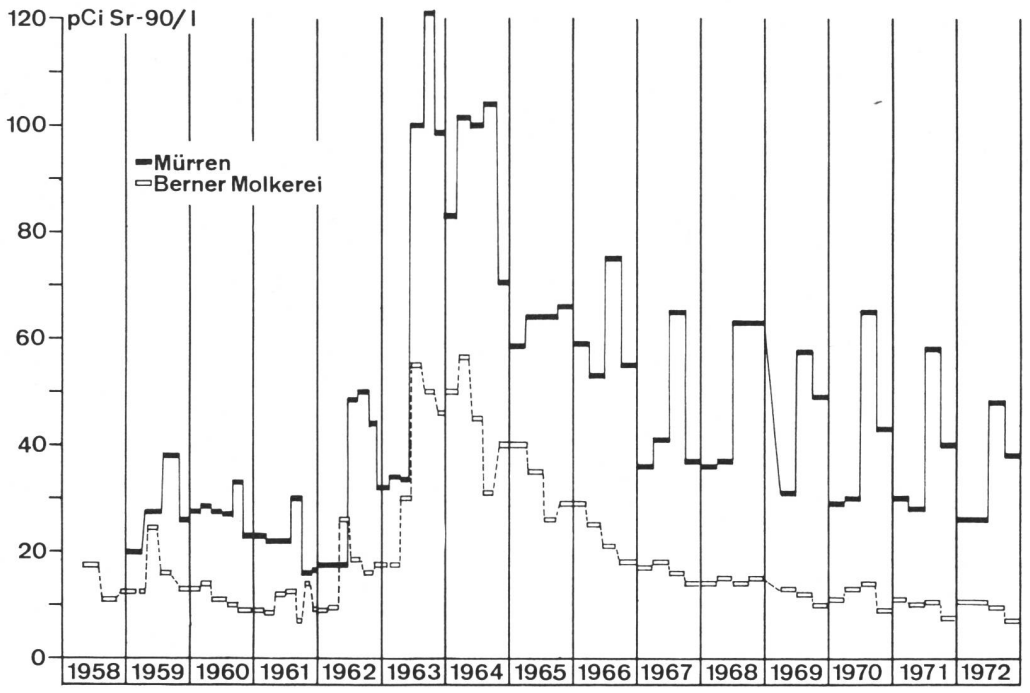


Fig. 21. Sr-90-Aktivität von Frischmilch aus dem Flachland (Bern, 540 m) und aus einer Höhenlage (Mürren, 1650 m) für die Jahre 1958–1972.

Fig. 21. Activité du Sr-90 dans le lait frais de plaine (Bern, 540 m) et de montagne (Mürren, 1650 m) pour les années 1958–1972.



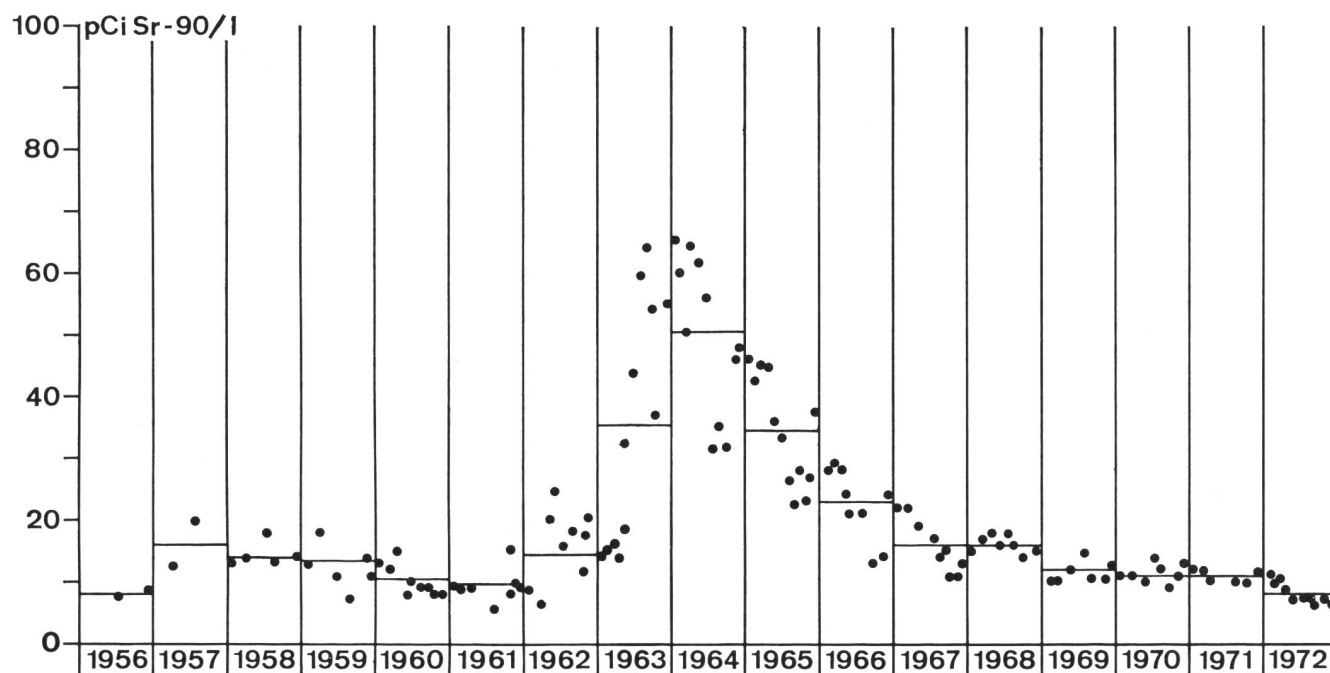


Fig. 22. Sr-90-Aktivität von Trockenmilch aus dem Kanton Waadt von 1956–1972. Angaben in pCi/l Frischmilch

Fig. 22. Activité du Sr-90 dans le lait en poudre du canton de Vaud pour les années 1956–1972. Données en pCi/l lait frais

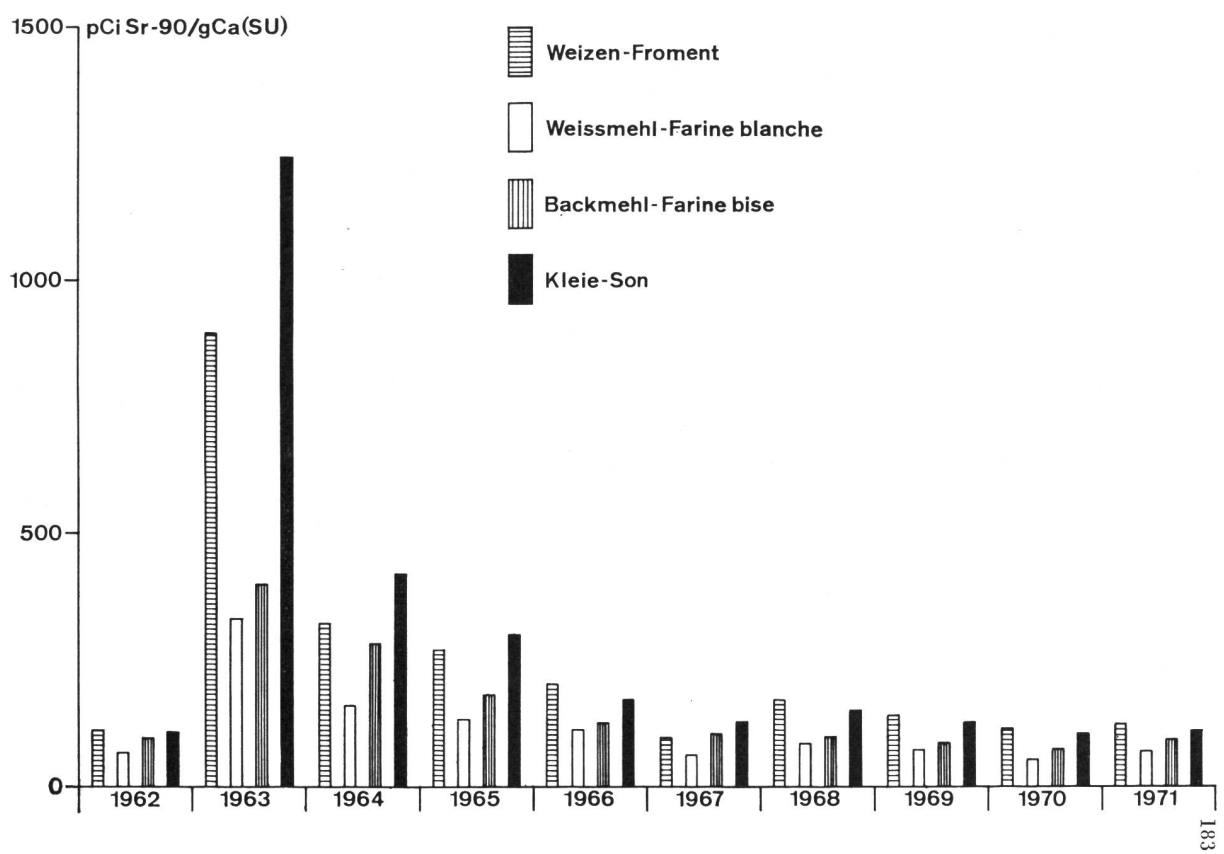


Fig. 23. Sr-90-Aktivität pro g Kalzium von Weizen und Weizen-Mahlprodukten, gemittelt über sieben Herkunftsstellen für die Jahre 1963-1971  
 Fig. 23. Activité du Sr-90 dans le froment et ses produits de mouture en pCi Sr-90 par g calcium. Moyennes de sept provenances, pour les années 1963-1971

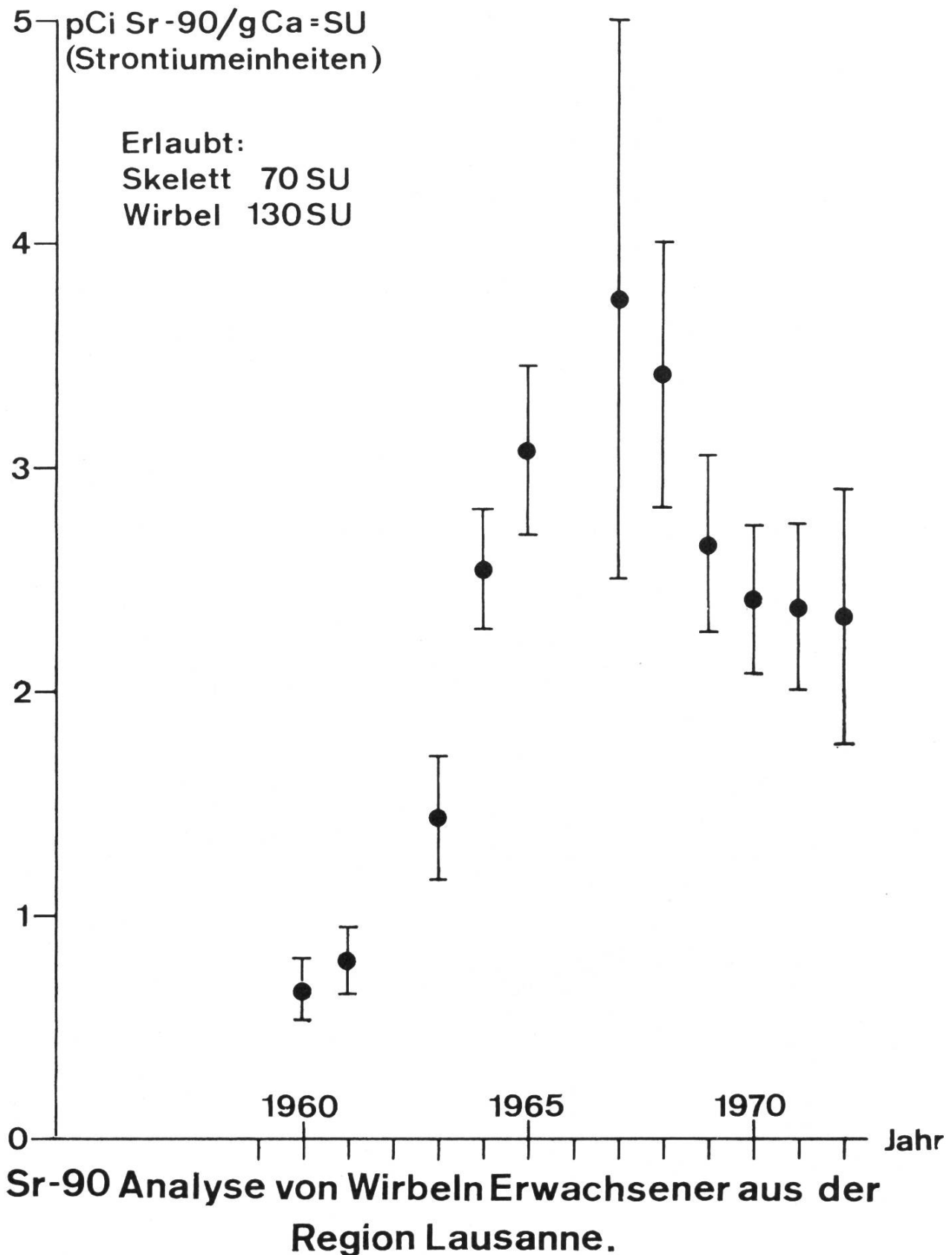


Fig. 24. Sr-90-Analyse von Wirbeln Erwachsener aus der Region Lausanne für die Jahre 1960–1972, in Sr-Einheiten (pCi Sr-90/g Ca)

Fig. 24. Analyse du Sr-90 dans les vertèbres d'adultes de la région de Lausanne pour les années 1960–1972, en unités de Sr (pCi Sr-90/g Ca)

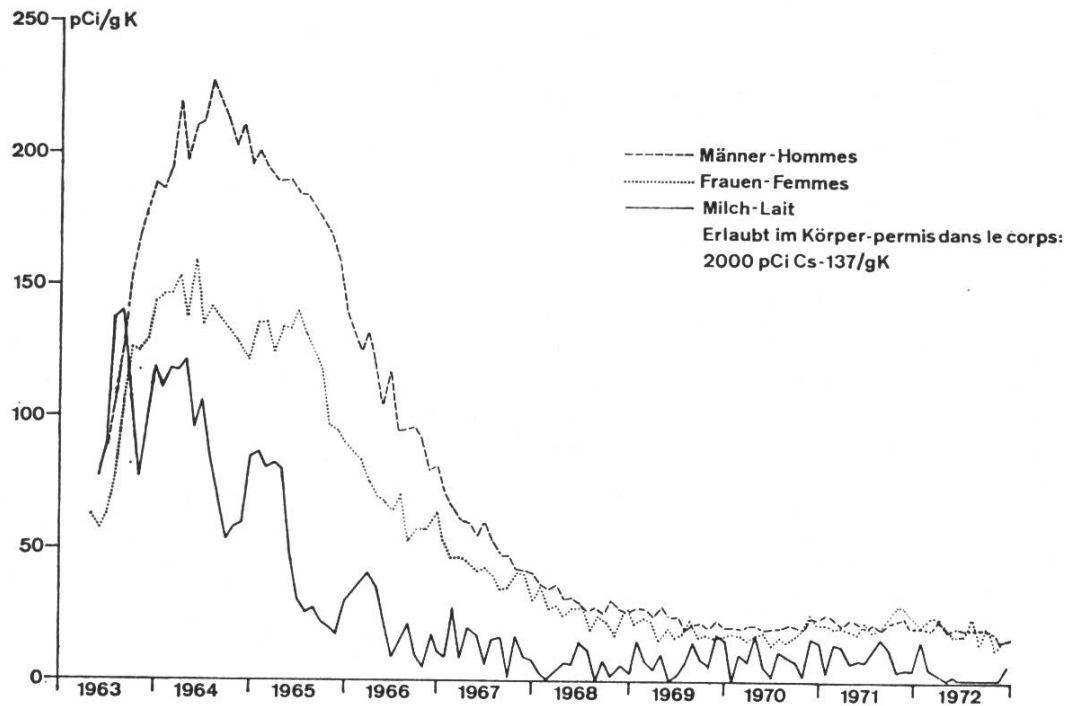


Fig. 25. Cs-137-Aktivität im menschlichen Körper und in der Milch, Messungen mit dem Anthro-Spektrometer Genf, 1963–1972

Fig. 25. Activité du Cs-137 dans le corps humain et dans le lait, mesures effectuées à l'anthro-spectromètre de Genève, 1963–1972